

异构平台上基于 OpenCL 的 FFT 实现与优化

李 焱^{1,2,3} 张云泉^{1,2} 王 可^{1,2} 赵美超^{1,2,3}

(中国科学院软件研究所并行软件与计算科学实验室 北京 100190)¹

(中国科学院软件研究所计算机科学国家重点实验室 北京 100190)²

(中国科学院研究生院 北京 100190)³

摘要 快速傅立叶变换作为 20 世纪公认的最重要的基础算法之一,在大规模科学计算处理、数字信号处理、图形图像仿真等众多领域有着广泛的应用。OpenCL 是首个面向异构系统通用的并行编程标准,为软件开发人员提供了统一的面向异构系统的并行编程环境。首先,在异构平台 Cell 和 GPU 上使用 OpenCL 实现了基于 2 的幂一维 FFT,并对其进行了测试和分析,在 Cell 平台上当数据规模适中时它能够达到 SDK 性能的 65%,当数据规模继续增大时,相对性能有所降低。此外,针对 Nvidia Fermi 平台,手工调优了小因子的 FFT,使其性能接近于 CUFFT 的 140%。

关键词 FFT, OpenCL, Cell, CUDA, GPU, 快速傅立叶变换

中图法分类号 TP311 **文献标识码** A

Implementation and Optimization of the FFT Using OpenCL on Heterogeneous Platforms

LI Yan^{1,2,3} ZHANG Yun-quan^{1,2} WANG Ke^{1,2} ZHAO Mei-chao^{1,2,3}

(Lab. of Parallel Software and Computational Science, ISCAS, Beijing 100190, China)¹

(State Key Lab. of Computer Science, CAS, Beijing 100190, China)²

(Graduate University of Chinese Academy of Sciences, Beijing 100190, China)³

Abstract Fourier methods have revolutionized fields of science and engineering, from astronomy to medical imaging, from seismology to spectroscopy. A fast Fourier transform (FFT) is an efficient algorithm to compute the discrete Fourier transform (DFT) and its inverse. OpenCL (Open Computing Language) is a new framework for writing programs that execute across heterogeneous platforms consisting of CPUs, GPUs, and other processors, and it provides parallel computing using task-based and data-based parallelism. In this paper, we first implemented FFT with OpenCL, then tested and analyzed the performance of it on heterogeneous multi-core platforms like Cell, NVIDIA GPU. The performance we achieved is about 65% of Cell SDK, and 75% of CUDA CUFFT, and it needs to improve in the near further. Furthermore, we acquire unprecedented performance results that nearly 140% of CUFFT on Fermi GPU by exploiting hardware features when the size of FFT is small.

Keywords FFT, OpenCL, Cell, CUDA, GPU, Fast fourier transform

1 引言

1.1 FFT 的原理和应用

快速傅里叶变换^[1-4] (Fast Fourier Transform, FFT), 是离散傅里叶变换 (Discrete Fourier Transform, DFT) 的快速算法, 具有广泛的应用, 常被用于数字滤波、求解偏微分方程和信号分解。近年来具有 FFT 特点的谱方法已被成功地应用于解决计算流体力学 (CFD) 问题, 而求解 CFD 问题广泛地应用于气象预报、模拟地球物理学以及量子力学等方面。FFT 在数据分析领域中的应用包括计算机断层成像、数据过滤和重构以及流体结构相互间作用的分析 and 可视化等。FFT 算法设计的基本思想, 就是充分利用 DFT 的周期性和对称

性, 减少重复的计算量; 并把 N 点长序列分成几个短序列, 递归地减少每个序列长度从而降低计算量和计算复杂度。

1.2 GPU 和 Cell

硬件方面, 集成电路产业一直按照摩尔定律 (Moore's Law) 发展, 计算机硬件环境日新月异, 高性能计算机不断挑战更高难度数量级的性能。作为高性能计算机的基本组成部分, CPU、GPU、IBM Cell 等各种高性能处理器的发展也十分迅猛。其中, GPU 在通用计算方面的发展尤为引人注目。2006 年 11 月, AMD 开始研发“close to metal”, 后来演进为 ATI Stream 技术。同时, NVIDIA 的计算统一设备架构 (Compute Unified Device Architecture, CUDA) 与 G80 显卡同时公开, 并于 2010 年 3 月发布了 CUDA 3.0。

到稿日期: 2010-09-14 返修日期: 2010-12-22 本文受国家 863 计划项目 (2006AA01A125, 2009AA01A129, 2009AA01A134), 国家重大项核高基项目 (2009ZX01036-001-002) 资助。

李 焱 (1985-), 男, 博士生, 主要研究领域为并行计算, E-mail: liyan08@iscas.ac.cn; 张云泉 (1973-), 男, 研究员, 主要研究领域为高性能计算及并行数值软件、并行计算模型、并行数据库、海量数据并行处理。

2 基于 OpenCL 的 FFT 算法设计与实现

对于复数序列 x_0, x_1, \dots, x_{N-1} , 离散傅里叶变换 DFT 的计算公式为:

$$y_k = \sum_{j=0}^{N-1} \omega_N^{jk} x_j \quad (1)$$

式中, $\omega_N = \exp(-\frac{2\pi i}{N}), i = \sqrt{-1}; K=0, 1, \dots, N-1$

计算每个 y_k 须作 N 次复数乘法及 $N-1$ 次复数加法, 要完成整个 DFT 变换共需 N^2 次复数乘法及 $N(N-1)$ 次复数加法。经典的 FFT 算法是由 Cooley-Tukey^[4] 提出的, 该算法考虑到 FFT 的周期性, 以分治法为策略递归地将长度为 $N=r \times m$ 的 DFT 分解为长度分别为 N_1 和 N_2 的两个较短序列的 DFT。

$$\begin{aligned} j &= j_1 r + j_2 \quad 0 \leq j_2 < r, 0 \leq j_1 < m \\ k &= k_1 + k_2 m \quad 0 \leq k_1 < m, 0 \leq k_2 < r \end{aligned}$$

于是:

$$\begin{aligned} y_{k_1+k_2 m} &= \sum_{j_2=0}^{r-1} \sum_{j_1=0}^{m-1} \omega_N^{(k_1+k_2 m)(j_1 r+j_2)} x_{j_1 r+j_2} \\ &= \sum_{j_2=0}^{r-1} \left(\left(\sum_{j_1=0}^{m-1} \omega_N^{k_1 j_1} x_{j_1 r+j_2} \right) \omega_N^{k_1 j_2} \right) \omega_r^{k_2 j_2} \end{aligned} \quad (2)$$

用张量积表示为:

$$Y_l = (W_r \otimes I_m) T_m^N (I_r \otimes W_m) \Pi_{N,r,x} \quad (3)$$

式中, T_m^N 是一个对角线“旋转因子”矩阵, $\Pi_{N,r,x}$ 是一种模 r 置换矩阵, 这是 FFT 的核心思想, 以上式 (3) 就是著名的 Cooley-Tukey 混合基分解算法。

采用混合基分解 DFT 可将其复数计算量由 N^2 下降到 $N(r+m)$, 当 N 为 r 的幂时, 计算复杂度降低为 $2r \log_2 N$ 。当 $N=8$ 时, DFT 的计算示意图如图 3 所示。

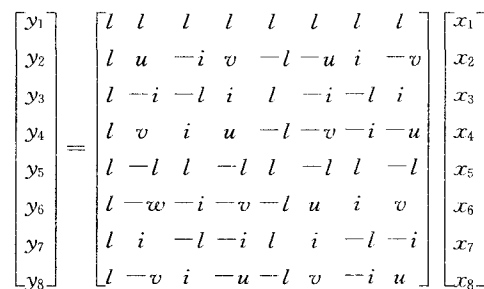


图 3 8 个点 DFT 计算示意图^[3]

其中, $u = \omega_8 = (1-i)/\sqrt{2}, v = \omega_8^3 = (-1-i)/\sqrt{2}$ 。对于以上 $N=8$ 时的计算序列, 可以将其分解为 Radix-2 FFT (见图 4), 所对应的蝶式计算图如图 5 所示。

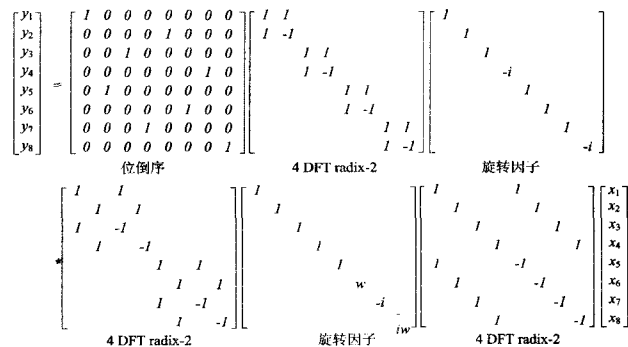


图 4 $N=8$ 时 FFT 计算分解示意图^[3]

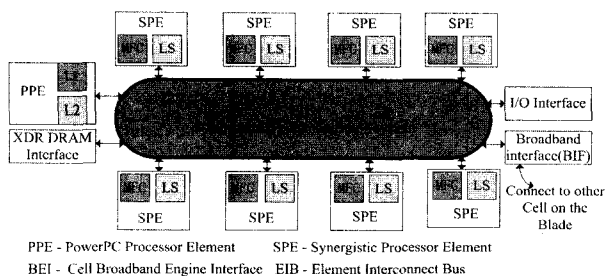


图 1 Cell 硬件结构图

Cell^[5-7] 是由 IBM、东芝 (Toshiba) 和 Sony 共同研发的异构多核处理器, 具备多工、多效以及庞大的浮点运算功能。Cell 处理器 (如图 1 所示) 包括 1 个基于 PowerPC 架构的控制处理单元 Power Processing Element (PPE) 以及 8 个 SIMD 的协处理器单元 Synergistic Processing Elements (SPE)。此外, 采用高速环形数据总线 Element Interconnect Bus (EIB) 连接 PPE、输入输出单元和 SPE, 同时还提供了 DMA 指令和控制机制以用于在不同处理单元之间提供高效的通信。SPE 访问主存储器的方法则是利用 DMA 命令在主存储器和没有高速缓存 (Cache) 的私有本地内存 (LS, Local Store) 之间移动数据和指令, 而不是共享主存储器。

1.3 OpenCL 简介

OpenCL^[8] (Open Computing Language, 开放计算语言) 是首个面向异构系统通用的并行编程标准, 具有免费、跨平台的特点和很好的互操作性。OpenCL 为软件开发人员提供了统一的编程环境, 便于为高性能计算服务器、桌面计算系统、手持设备编写高效轻便的代码, 而且广泛适用于多核处理器 (CPU)、图形处理器 (GPU)、Cell 类型架构以及数字信号处理器 (DSP) 等其他并行处理器, 因此在游戏、娱乐、科研、医疗等各种领域都有广阔的发展前景。

OpenCL 的架构如图 2 所示, 一个主机 (Host) 可以连接到多个 OpenCL 设备 (即 Compute Device) 上, 这些设备可以是 CPU、GPU、Cell 甚至 DSP 等。每个 OpenCL 计算设备被看作是一组计算单元 (Compute Unit) 的集合, 每个计算单元又划分为多个处理部件 (Compute Element)。对于 GPU 而言, 一个计算单元是指流多处理器 (Streaming Multiprocessor), 一个处理部件是指一个流处理器 (Streaming Processor)。OpenCL 程序由主机程序 (Host program) 和内核程序 (Kernel) 组成。主机程序为 Kernel 定义了上下文并管理 Kernel 代码的执行, Kernel 则在支持 OpenCL 的计算设备 (Compute Device) 如 GPU、Cell 等上执行具体的计算任务。

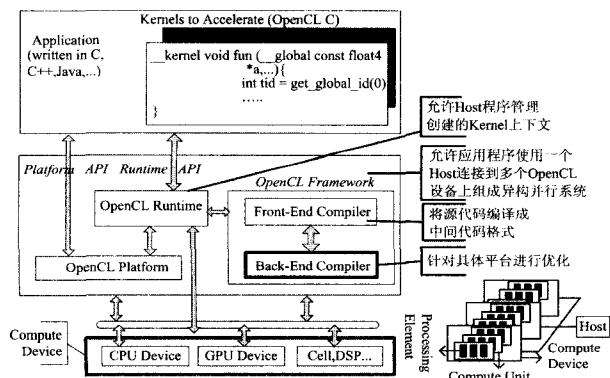


图 2 OpenCL 的框架图^[8]

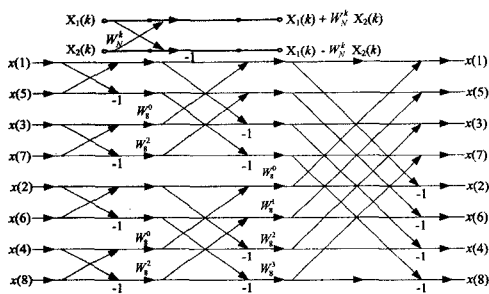


图5 $N=8$ 时 FFT 蝶式计算图

目前,基于 CPU 版的 FFT 库的研究与发展比较成熟,各大硬件厂商 Intel、IBM 以及 AMD 也相应推出了针对各自平台优化的 FFT 库。FFTW (Fast Fourier Transform in the West) 是由麻省理工学院开发的开源免费的自适应优化 FFT 软件包,同时支持共享存储多线程并行和分布式存储 MPI 并行,其运算性能远远领先于目前已有的其它 FFT 软件,甚至优于商用软件。FFTW 遴选了过去近 40 年的各种好的 FFT 算法,包括 Cooley-Tukey 算法以及各种变式、素因子、Rader 算法、分裂基算法等。在软件包安装时通过 Ocaml 语言针对安装平台的硬件特性产生一系列优化了的小因子 FFT (codelets),例如 Radix-2、Radix-3、Radix-5、Radix-8 等。在运行时通过搜索和组合这些小因子 FFT 来选择较优或者最优的针对指定规模的 FFT 算法^[13,14]。

但是,针对 GPU 优化的 OpenCL 版 FFT 库在各个平台 (包括 Cell、GPU) 基本上还处于开发阶段,OpenCL 的应用和使用还处于起步阶段。本文中基于 OpenCL 的 FFT 算法实现采用的是时间抽选 FFT 算法 (Decimation in frequency, DIF),先将输入元素重新排列成位序颠倒的次序,然后进行蝶形算法输出自然序列。数据的实部和虚部采用混合存储模式即实部和虚部连续存储。本文所采用的 Cooley-Tukey 算法框架如下:

- 将输入数据按照列优先的顺序存储在 $r \times m$ 的数组中。
- 对矩阵中的每一行数据并行做 FFT radix-r 计算。
- 将矩阵乘以相关的旋转因子。
- 对矩阵进行转置操作。
- 对矩阵中的每一行数据并行地进行 FFT radix-m 计算。

算法框架所对应的图示如图 6 所示。

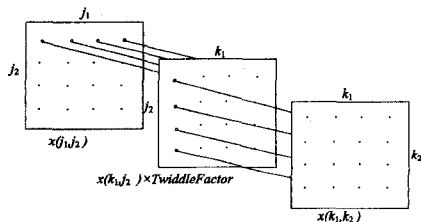


图6 Cooley-Tukey 算法框架

3 实验结果及分析

3.1 测试环境

本节通过实验分别进行了 Cell SDK 以及 NVIDIA (CUFFT^[10]) 的 FFT 库与实现的 OpenCL FFT 性能的比较,实验的平台如表 1 所列。AMD 中 SDK 2.1 的 Sample 中 FFT 只支持 1024 规模,而且其对应 ATI GPU (AMD Core Math Li-

brary for Graphic Processors, ACML-GPU) 上没有可用的 FFT 函数库^[9],由于缺少可比性,因此实验平台暂时没有考虑 AMD GPU。

表 1 实验平台

平台	参数
Cell	Cell 3. 2GHz, 2GB Memory, 256K LS 32/32 KB L1 (data/instruction) Cache, 512KB L2 Cache Cell OpenCL 0. 1. 1+Cell SDK 3. 1 编译器: XLC 9. 0
	Tesla C1060 NVIDIA OpenCL 1. 0+ CUDA SDK 3. 0 编译器: NVCC 3. 0
GPU	Fermi (Tesla C2050) NVIDIA OpenCL 1. 0+ CUDA SDK 3. 1. 1 编译器: NVCC 3. 1

测试结果中的时间包括 IO 传输时间、执行时间以及 OpenCL Kernel/CUFFT/Cell libfft 执行上下文的创建时间。由于 Cell 体系结构的异构特点^[6,7]譬如支持 16M 的大页表,我们在 Host program 端使用了大页表来减少 TLB 缺失,并且数据内存分配采用 128bytes 地址对齐, MFC 虽然支持自然对齐的 DMA 传输,大小分别为 1, 2, 4, 8 和 16 字节,以及 16 字节整数倍,但当 DMA 传输的源地址和目的地址都是 128 字节对齐且传输数据的大小是 128 字节的倍数时,传输的性能可以达到峰值 (DMA 访问带宽是 128bytes/cycle)。考虑到 Radix-2 FFT 的特点,结合 Cell 上 SPE 大容量向量寄存器的特点,在 OpenCL kernel 中数据类型尽量使用 float2 和 float4 类型来提高寄存器的利用率。

3.2 测试结果与分析

OpenCL 在 Cell 平台上的测试结果如图 7 所示,若数据规模为 1024 至 8192, OpenCL 版的 FFT 的性能约为 SDK 的 65%, 当数据规模较大如 size 为 65536 时,性能只有 SDK 的 35% 左右。在 Kernel 端,虽然 SPE 上没有 Cache, SPE 从容量为 256kB 的 LS 中读取指令和数据,但是,其内部包含一个有 128 条目的 128 位寄存器堆 (Register file), 而且具有两条 (奇、偶) 执行流水线,可在单周期内发射并完成两条指令,因此,在 Kernel 中应该尽量使用 float4 类型进行运算和操作。但是 FFT 的实现无论采用 DIT 还是先迭代后进行位序颠倒的频率抽选法 (Decimation in frequency, DIF) 算法,其内部实现的还是两个元素进行运算和操作, OpenCL 1. 0 标准中没有类似于 SPE SIMD 指令中的 shuffle 指令来重组元素,因此寄存器的使用率最多只能达到 50%。由于一个 128 位寄存器刚好能够容纳 2 个 double 类型数据,即一个 double complex (对应于 double2 类型),但是,目前 Cell 上该 OpenCL 版本对 OpenCL 标准中 double2 类型的操作的支持还不是很完善,譬如三角函数,故只能期待在下一版本中进行测试。另外,在 Kernel 端不能有效地使用双缓冲机制 (Double buffer) 来分摊通信开销,因此,随着计算数据量 (size) 的增大,势必会影响性能,从图 9 可以看出当数据规模增加时,虽然 Kernel 所占的时间比例明显增加,但性能与 SDK 的差距反而增大。

在 NVIDIA Tesla C1060 平台上的测试结果如图 8 所示,平均性能接近 CUFFT 的 75%。Fermi 是 Nvidia 专门为高性能计算优化的新一代处理器架构,基于该架构的 Tesla GPU 处理器拥有 30 亿颗晶体管、512 个计算内核,双精度性能相

(下转第 296 页)

[10] Wolfram S. Cellular automata as models of complexity[J]. Nature, 1984, 311, 419-424

[11] Pinheiro E, Bianchini R, Dubnicki C. Exploiting redundancy to conserve energy in storage systems[J]. ACM SIGMETRICS Performance Evaluation Review, ACM, 2006; 15-26

[12] Colarelli D, Grunwald D. Massive arrays of idle disks for storage archives[C]//Proceedings of the 2002 ACM/IEEE Conference on Supercomputing. ACM, 2002; 1-11

[13] Pinheiro E, Bianchini R. Energy conservation techniques for disk-array-based servers[C]//Proceedings of the ACM/IEEE Con-

ference on Supercomputing. ACM, 2004; 88-95

[14] Narayanan D, Donnelly A, Rowstron A. Write Off-loading; Practical Power Management for Enterprise Storage[C]// the 6th USENIX Conference on File and Storage Technologies (FAST'08). USENIX Association, 2008; 253-267

[15] Adami C. Introduction to artificial life[M]. New York; Springer-Verlag, 1998; 94-98

[16] Lee W, Scheuermann P, Vingralek R. File Assignment in Parallel I/O Systems with Minimal Variance of Service Time[J]. IEEE Trans. Computers, 2000, 49(2); 127-140

(上接第 286 页)

对前一代产品 GT200 提升 8 倍, 带有 ECC 校验功能, 增加了 L1 和 L2 两级缓存, 内存带宽提高两倍。Fermi (Tesla C2050) 每个 SM 中的寄存器文件数量为 32K^[11,12], 对于小规模 FFT, 每个线程拥有的寄存器数量非常充足。因此, 在 Fermi 平台, 我们对小规模 FFT 完全展开。此外, Fermi 支持高精度的乘加指令 FMA (fused multiply-add)^[11], FFT 中复数相乘的操作非常频繁, 有效使用 FMA 指令优化复数运算能够改善运算精度和运算效率。线程组成 warp 进行访存优化, 减少线程之间的同步, 同时通过转置操作优化全局内存的对齐访问, 对于 block 内部线程之间尽量使用 local memory (对应于 CUDA 中的 Shared memory) 来进行 block 内全局通信。在 Fermi 上通过采用如上技术优化 Radix-8, Radix-64 以及 Radix-512, 使其性能大大提升, 实验结果如图 10 所示。

寄存器; 在 NVIDIA 平台上借鉴 CUDA 程序的优化技术来改善 OpenCL Kernel 中的性能, 例如流技术。此外, 将针对 Fermi 平台实现和优化更多的小因子 FFT (codelets), 并对一定规模大小的 FFT 采用多种搜索策略和匹配 codelets 算法来得到较优的性能。

总之, OpenCL 为软件开发人员提供了统一的面向异构系统的并行编程环境, 尤其在 Cell 上, 屏蔽了基于 SDK 编程的很多复杂的硬件细节, 提高了并行编程的生产率, 因此, OpenCL 在并行计算领域具有良好的应用前景。

结束语 本文在异构平台 Cell 和 Nvidia GPU 上使用 OpenCL 实现和优化了一维 FFT, 并测试和分析了该版本 FFT 的性能。此外, 针对 Fermi 的存储层次和硬件特点, 通过手动调优小因子 FFT, 使其性能接近 CUFFT 的 140%。

参考文献

[1] Bracewell R N. The Fourier Transform and Its Applications (3rd ed)[M]. McGraw-Hill, 1999

[2] Govindaraju N K, Lloyd B, Dotsenko Y, et al. High Performance Discrete Fourier Transforms on Graphics Processors [C] // SC08. November 2008

[3] Volkov V, Kazian B. Fitting FFT onto the G80 architecture[R]. http://www.cs.berkeley.edu/~kubitron/courses/cs258-S08/projects/reports/project6_report.pdf, May 2008

[4] Cooley J W, Tukey J W. An algorithm for the machine calculation of complex Fourier series [J]. Mathematics of Computation, 1965, 19(90); 297-301

[5] IBM Corporation. Cell Broadband Engine Programming Handbook[S]. Version 1. 12, Apr. 2009

[6] IBM Corporation. Software Development Kit 2. 1 Programmer's Guide[S]. Version 2. 1, March 2007

[7] IBM Corporation. Cell Broadband Engine Programming Tutorial [S]. Version 2. 0, Dec. 2006

[8] Khronos OpenCL Working Group. The OpenCL Specification [S]. Version 1. 0, Oct. 2009

[9] AMD Corporation. AMD Core Math Library for Graphic Processors Release Notes for Version 1. 0[S]. March 2009

[10] CUDA Programming Guide Version 3. 0; NVIDIA Corporation [S]. Feb. 2010

[11] NVIDIA's Next Generation CUDA Compute Architecture; Fermi. NVIDIA Corporation[S]. 2009

[12] Glaskowsky P N. NVIDIA's Fermi; The First Complete GPU Computing Architecture[Z]. September 2009

[13] Frigo M, Johnson S G. The Design and Implementation of FFTW3 [J]. Proceedings of the IEEE, 2005, 93 (2); 216-231

[14] Frigo M. A Fast Fourier Transform Compiler[C]//Proceedings of the 1999 ACM SIGPLAN Conference on Programming Language Design and Implementation. Feb. 1999

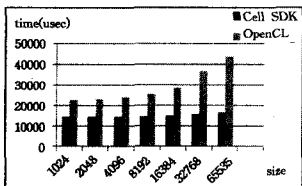


图 7 Cell 平台上的测试结果

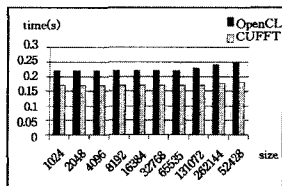


图 8 Tesla C1060 平台上的测试结果

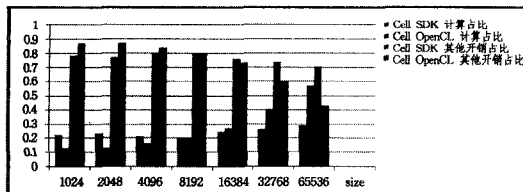


图 9 OpenCL FFT 在 Cell 平台上的计算和开销占比

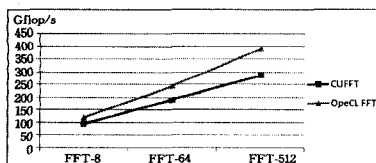


图 10 Fermi 平台上的小规模 FFT 优化结果

结束语 本文测试和分析了面向异构平台基于 OpenCL 的一维 FFT, 实验结果表明, 在 Cell 平台上当数据规模适中时能达到 SDK 中提供的 FFT 性能的 65%, 当数据规模继续增大时, 性能有所降低了, 仅为 SDK 的 35% 左右。在 NVIDIA 平台上能够到达 CUFFT 性能的 75%, 并对小规模 FFT 在 Fermi 进行了手工调优, 性能接近 CUFFT 的 140%。另外, 在 Cell 上由于 SPE 具有大容量向量寄存器的特点, 下一步工作会利用循环展开和寄存器分块来有效利用